

УДК 539.3

О. М. Склепус

## ДОСЛІДЖЕННЯ ПОВЗУЧОСТІ ТА РУЙНУВАННЯ ПЛАСКИХ ДНИЩ ВИСОКОТЕМПЕРАТУРНИХ ТЕПЛОБМІННИКІВ

*Проведено комп'ютерне дослідження плоских сталевих днищ, приварених до оболонкової камери теплообмінника. За розрахунками параметра пошкоджуваності визначено ресурс роботи днищ.*

**Постановка проблеми і аналіз публікацій.** На сучасному етапі розвитку техніки значна увага конструкторів й інженерів приділяється створенню машин і апаратів з найкращими технічними властивостями, що забезпечують скорочення витрат сировини, палива і енергії на їхнє виготовлення й експлуатацію [1–7].

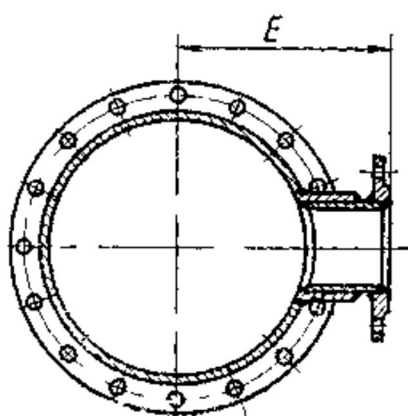
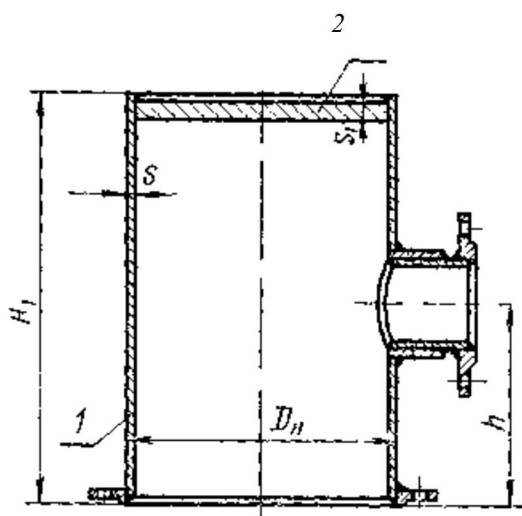


Рис. 1. Камера теплообмінника:  
1 – камера; 2 – плоске днище

дефектів структури і появою нових дефектів по границях зерен, спостерігається в умовах повзучості [1].

Задача технічного прогресу в галузі теплообмінної апаратури енергетичних установок полягає в тому, щоб створювати більш дешеві у виготовленні і економічні в експлуатації апарати [6]. Крім того, для транспортних теплосилових агрегатів найважливішим є забезпечення жорстких габаритних і силових вимог [1, 4].

Температури більше 500°C, корозія і значні перепади тиску, які мають місце в областях високого і середнього тисків високотемпературних теплообмінних апаратів можуть призвести до недопустимо великих деформацій, передчасних поломок і руйнувань найбільш навантажених деталей теплообмінників, до яких належать і плоскі днища (рис. 1). За цих умов стає актуальним враховування повзучості матеріалу плоских днищ [1, 4, 7]. За наявності повзучості міцність стає залежною від часового фактору, тому в задачу розрахунку міцності конструкції включається, перш за все, розрахунок на довговічність [1, 5, 7]. Повзучість призводить також до поступового збільшення прогинів плоских днищ і перерозподілу напружень в ній. Обидва ці фактори здійснюють значний вплив на надійність конструкції і також повинні враховуватися при проектуванні.

**Мета статті.** У статті досліджується повзучість та руйнування плоских днищ сучасних теплообмінних апаратів.

**Виклад основного матеріалу.** Дослідження мікроструктури кристалічних конструкційних матеріалів за допомогою електронного й оптичного мікроскопів показують, що, навіть у ненавантаженому стані, розглянуті матеріали містять різні мікротріщини, пори, порожнини, сторонні вclusions й інші дефекти. Ще більш складна картина, пов'язана з ростом наявних

У деяких матеріалах, таких як мідь, пошкодження видні візуально, а, наприклад, в алюмінієвих сплавах пошкодження важко спостерігати навіть за допомогою оптичного мікроскопа.

Очевидно, що процеси повзучості і пошкоджуваності матеріалу є взаємозалежними. Для опису цих процесів формуються феноменологічні теорії, що описують макроскопічну поведінку матеріалів.

У рамках феноменологічного підходу, увівши параметр пошкоджуваності при повзучості, згідно з Ю. Н. Работновим [1], можна розглядати обговорювані мікронеоднорідні матеріали, як деякі мікроскопічно однорідні пошкоджені середовища. При цьому параметр пошкоджуваності може мати скалярну [1, 2], векторну [2] або тензорну [2] природу.

Скалярний параметр пошкоджуваності  $d$  вводиться в такий спосіб:  $d = 0$  для неушкодженого матеріалу;  $d = 1$  у момент руйнування при повзучості. Цей параметр є деякою мірою розтріскування матеріалу, однак, ми не будемо намагатися установити пряму залежність між кількістю тріщин на одиницю об'єму, їхніми розмірами й орієнтацією, з одного боку, і величиною параметра  $d$  – з іншої.

У роботі [4] надано експериментальне дослідження плоских дниць зі сталі 20 ( $E = 1,643 \cdot 10^5$  МПа,  $\nu = 0,3$ ) діаметром  $2R = 1,376$  м і товщиною  $h = 0,04$  м, приварених до «короткої» циліндричної оболонки. Оболонка навантажувалася внутрішнім тиском повітря  $P = 0,6$  МПа, подаваного від компресора. Досліди проводилися на спеціальному стенді [4] при температурі  $500^\circ\text{C}$ .

За кривими повзучості і тривалої міцності, наведеними в [5], визначено сталі характеристики матеріалу для рівнянь, що описують процеси повзучості

$$\dot{\rho}_{kl} = \frac{3}{2} A t^\theta \sigma_i^{n-1} \frac{S_{kl}}{(1-d)^n}.$$

Швидкість зміни  $d$  вибирається як функція напруг [1]:

$$\dot{d} = \frac{B t^\theta \sigma_r^m}{(1-d)^\phi}.$$

Установлено, що для сталі 20 при температурі  $500^\circ\text{C}$ :  $\theta = -0,21$ ,  $n = m = 6,12$ ,  $\phi = 11,51$ ,  $A = 1,19 \cdot 10^{-16}$  МПа $^{-n}$ год $^{-(\theta+1)}$ ,  $B = 8,38 \cdot 10^{-17}$  МПа $^{-m}$ год $^{-(\theta+1)}$ .

Як модель плоского сталевого днища, привареного до циліндричної оболонкової камери теплообмінника (рис. 1), вибираємо жорстко закріплену по контуру пластину. Пластина знаходиться під дією поперечної рівномірно розподіленої навантаги. Основні геометричні й фізичні співвідношення для швидкостей деформацій  $\dot{\epsilon}_{kl}$  та напружень  $\dot{\sigma}_{kl}$  будуються на основі гіпотез Кірхгофа-Лява та закону Гука:

$$\dot{\epsilon}_{11} = -z\dot{w}_{,11}, \quad \dot{\epsilon}_{22} = -z\dot{w}_{,22}, \quad 2\dot{\epsilon}_{12} = -2z\dot{w}_{,12},$$

де  $\dot{w}(x_1, x_2, t)$  – швидкість прогину координатної поверхні пластини по осі  $Oz$ ;

$$\dot{\sigma}_{11} = \frac{E}{1-\nu^2} (\dot{\epsilon}_{11}^e + \nu \dot{\epsilon}_{22}^e); \quad \dot{\sigma}_{22} = \frac{E}{1-\nu^2} (\dot{\epsilon}_{22}^e + \nu \dot{\epsilon}_{11}^e); \quad \dot{\sigma}_{12} = 2G\dot{\epsilon}_{12}^e,$$

де  $E, G, \nu$  – модуль пружності, модуль зсуву і коефіцієнт Пуассона ізотропного матеріалу;  $\dot{\epsilon}_{kl}^e = \dot{\epsilon}_{kl} - \dot{\rho}_{kl}$  – швидкості пружних деформацій. Тоді

$$\dot{\sigma}_{11} = \frac{E}{1-\nu^2} [\dot{\epsilon}_{11} + \nu \dot{\epsilon}_{22} - (\dot{\rho}_{11} + \nu \dot{\rho}_{22})];$$

$$\dot{\sigma}_{22} = \frac{E}{1-\nu^2} [\dot{\epsilon}_{22} + \nu \dot{\epsilon}_{11} - (\dot{\rho}_{22} + \nu \dot{\rho}_{11})];$$



$$\dot{\sigma}_{12} = 2G(\dot{\epsilon}_{12} - \dot{p}_{12}).$$

Більшість існуючих методів розрахунків на повзучість пластин складної геометричної форми базуються на застосуванні дискретних чисельних методів, таких як метод кінцевих елементів, метод скінчених різниць й інші. Сучасний розвиток теорії R-функцій дозволяє проводити розрахунки на повзучість пластин на основі аналітичного подання розв'язків крайових задач у вигляді структурних формул [3]. У сполученні з теорією R-функцій пропонується використовувати варіаційний принцип Лагранжа, метод Рітца та метод Рунге-Кутта-Мерсона для інтегрування початкових задач за часом.

Функціонал Лагранжа для пластин сформульовано у вигляді:

$$I = \frac{1}{2} \iint_{\Omega} (D_{11} \dot{w}_{,11}^2 + D_{22} \dot{w}_{,22}^2 + 2D_{33} \dot{w}_{,11} \dot{w}_{,22} + D_{44} \dot{w}_{,12}^2 + \dot{M}_{11}^c \dot{w}_{,11} + \dot{M}_{22}^c \dot{w}_{,22} + 2\dot{M}_{12}^c \dot{w}_{,12}) dx_1 dx_2 - \iint_{\Omega} \dot{q} w dx_1 dx_2. \quad (1)$$

У функціоналі (1) введено позначення:

$$\begin{aligned} \dot{M}_{11}^c &= \int_{(h)} \frac{Ez}{(1-\nu^2)} (\dot{p}_{11} + \nu \dot{p}_{22}) dz; \\ \dot{M}_{22}^c &= \int_{(h)} \frac{Ez}{(1-\nu^2)} (\dot{p}_{22} + \nu \dot{p}_{11}) dz; & \dot{M}_{12}^c &= 2 \int_{(h)} Gz \dot{p}_{12} dz. \\ D_{11} = D_{22} &= \int_{(h)} \frac{Ez^2}{(1-\nu^2)} dz; & D_{33} &= \int_{(h)} \frac{Ez^2 \nu}{(1-\nu^2)} dz; & D_{44} &= \int_{(h)} \frac{2Ez^2}{(1+\nu)} dz. \end{aligned} \quad (2)$$

Функціонал (1) сформульовано для швидкостей шуканих функцій, а в підсумку треба знайти значення самих функцій в довільний момент часу. Ця задача в роботі розв'язується кроковим методом інтегрування за часом по схемі Рунге-Кутта-Мерсона. Величини (2) грають роль додаткових навантажень у функціоналі (1) і на кожному кроці обчислюються по значенням шуканих функцій на попередньому кроці. Крайові задачі в початковий момент часу і на кожному часовому кроці розв'язуються варіаційно-структурним методом.

У розрахунках приварених по контуру днищ використані структури розв'язку для жорсткого закріплення:

$$\dot{w} = \omega^2 F_1.$$

де  $\omega = 0$  – рівняння жорстко закріпленої границі пластини, в якому  $\omega = \frac{1}{2R} (R^2 - x_1^2 - x_2^2)$ ;  $F_1$  – невизначений компонент структури розв'язку, що вибирається у вигляді степеневого полінома

$$F_1(x_1, x_2) = \sum_{k,l=0}^N C_{kl} x_1^k x_2^l.$$

У роботі досліджувалися днища різної товщини. На рис. 2 показано зміну прогину в центрі нижнього днища в процесі досліджень. Тут суцільними лініями надані розрахункові дані про прогин: 1 – для днища товщиною  $h = 35$  мм, 2 – для днища товщиною  $h = 40$  мм, 3 – для днища товщиною  $h = 45$  мм. Експериментальні дані роботи [4] про зростання прогинів показано точками. В таблиці 1 наведено результати розрахунку довговічності плоских днищ різної товщини. За час руйнування днища вважається момент часу коли значення скалярного параметра пошкоджуваності в будь-якій її точці досягає значення  $d = 1$ .

Усі розрахунки в роботі проводилися за допомогою розробленого на мові C++ програмного комплексу. Розрахункові дані отримані при таких параметрах дискретизації: кількість координатних функцій

дорівнює 28, при інтегруванні по товщині днища застосовувалася 6-точкова формула Гауса, кількість вузлів інтегрування по області дорівнювало 256.

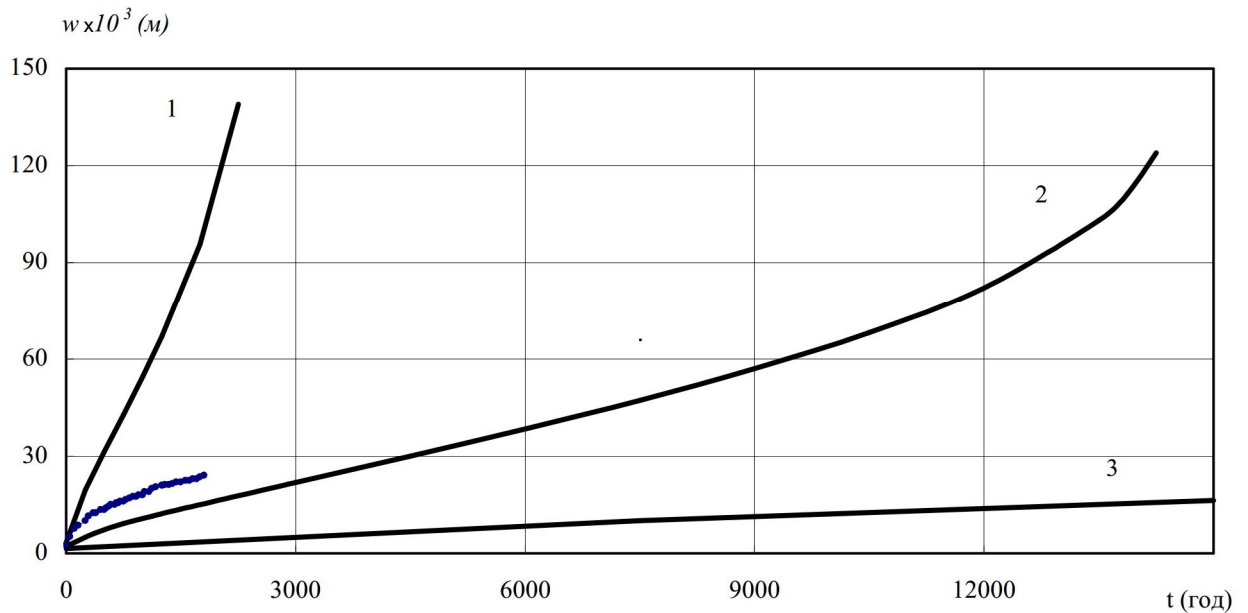


Рис. 2. Зростання прогинів у центрі нижнього днища

Т а б л и ц я 1

*Ресурс роботи плоских днищ*

Товщина днища $h$ , мм	Ресурс роботи днища, год.
35	2520
40	15460
45	68050

**Основні висновки.** Таким чином, виконано комп'ютерне дослідження плоских сталевих днищ, приварених до оболонкової камери теплообмінника. Результати комп'ютерного дослідження прогинів порівнювалися з дослідними даними, отриманими для оболонки з привареним днищем, навантаженої внутрішнім тиском повітря, подаваного від компресора. За розрахунками параметра пошкоджуваності, який характеризує процеси руйнування в днищі, визначено довговічність днищ різної товщини. Використана методика і розроблене програмне забезпечення дозволяють виконувати проектні розрахунки плоских днищ будь-якої форми, які можуть мати різні отвори та ребра жорсткості.

**Список використаних джерел**

1. Работнов Ю. Н. Ползучесть элементов конструкций, М.: Наука, 1966. – 752 с.
2. Murakami S. Progress of Continuum Damage Mechanics: JSME Int. Journ. – 1987. – Vol. 30. – P. 701 – 710.

3. Рвачев В. Л. Метод R-функции в задачах об изгибе и колебаниях пластин сложной формы. / Рвачев В. Л., Курпа Л. В., Склепус Н. Г., Учишвили Л. Б. – К.: Наук. думка, 1973. – 123 с.
4. Урманчев А. И. Исследование ползучести плоских днищ и трубных досок высокотемпературных энергетических установок. // Труды центрального котлотурбинного института. – 1982. – С. 87–90.
5. Кац Ш. Н. Исследование длительной прочности углеродистых труб. // Теплоэнергетика. – 1955. – № 11. – С. 37–40.
6. Андреев М. М. и др. Теплообменная аппаратура энергетических установок. – М.: Машгиз, 1963. – 220 с.
7. Altenbach H., Morachkovsky O., Naumenko K., Sychov A. Geometrically nonlinear bending of thin-walled shells and plates under creep-damage conditions. Archive of Applied Mechanics. – 1997. – 67. – P. 339–352.

*Стаття надійшла до редакції 21.06.07 р.*